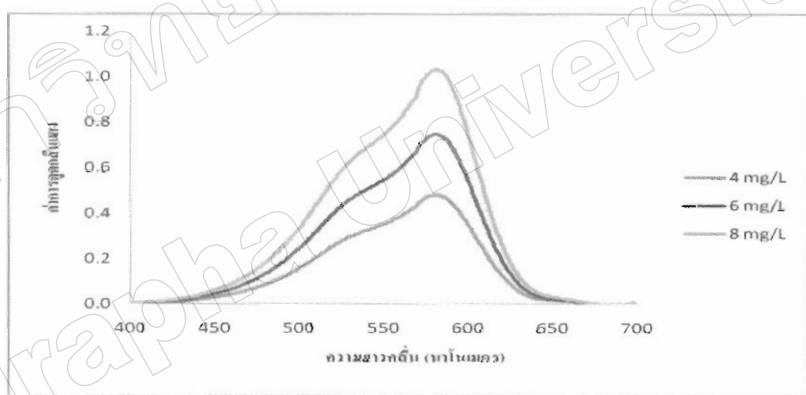


บทที่ 4

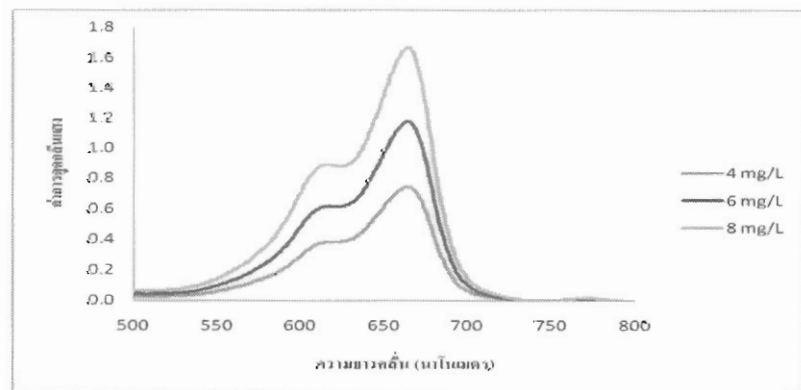
ผลการทดลองและอภิปราย

4.1 การคุณค่าลีนแสงของสารละลายน้ำตรฐานสีข้อมเมทิลไวโอลेट เมททิลีนบลูและเมทิลօอเรนจ์

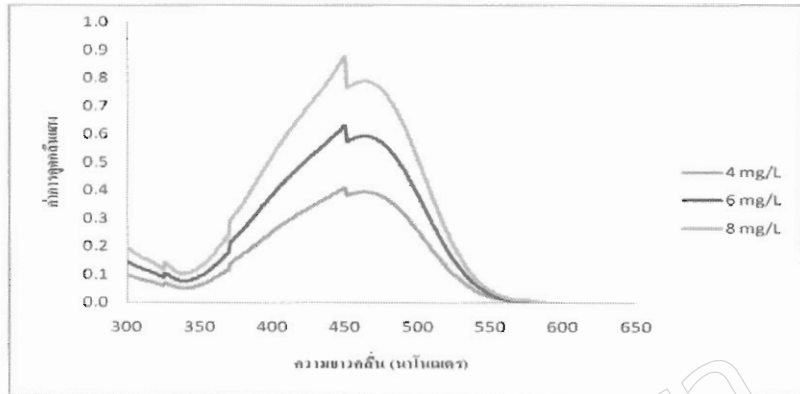
การคุณค่าลีนแสงของสารละลายน้ำตรฐานสีข้อมเมทิลไวโอลेट เมททิลีนบลูและเมทิลօอเรนจ์ที่ความเข้มข้น 4, 6 และ 8 มิลลิกรัมต่อลิตร พบว่าความยาวคลื่นที่ทำให้เกิดการคุณค่าลีนแสงสูงสุด (λ_{max}) ของสีข้อมเมทิลไวโอลेट เมททิลีนบลูและเมทิลօอเรนจ์ ทั้งสามความเข้มข้นอยู่ที่ 580 นาโนเมตรที่พีเอชมากกว่า 2.7, 665 นาโนเมตรที่พีเอชมากกว่า 4.5 และ 462 นาโนเมตรที่พีเอช 6.18 ตามลำดับ แสดงดังภาพที่ 4-1 ถึง 4-3



ภาพที่ 4-1 スペกตรัมการคุณค่าลีนแสงของสารละลายน้ำตรฐานของสีข้อมเมทิลไวโอลेट



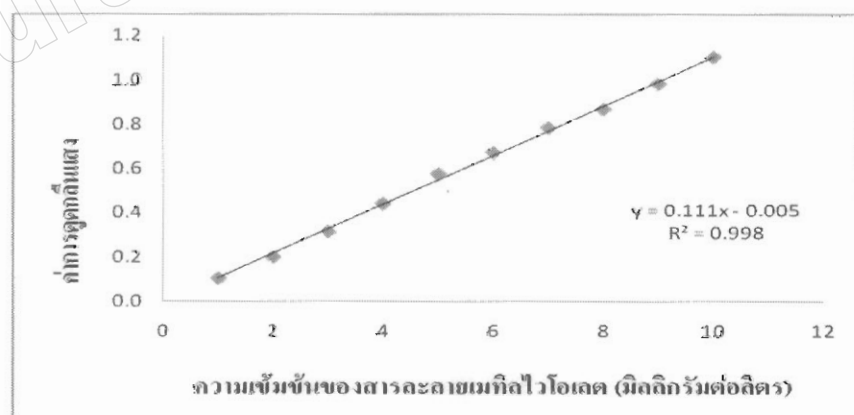
ภาพที่ 4-2 スペกตรัมการคุณค่าลีนแสงของสารละลายน้ำตรฐานของสีข้อมเมททิลีนบลู



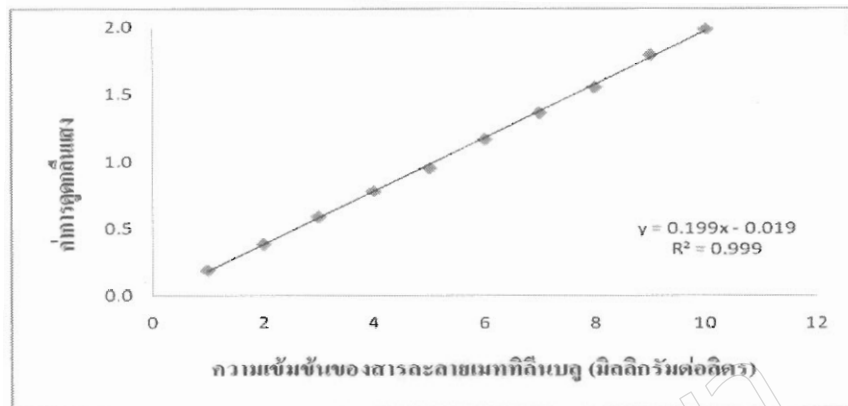
ภาพที่ 4-3 สเปกตรัมการดูดกลืนแสงของสารละลายน้ำตรฐานของสีข้อมเมทิลօอเรนจ์

4.2 การทำกราฟมาตรฐาน (Calibration curve) ของสีข้อมเมทิลไวโอลีต เมททิลีนบลู และเมทิลօอเรนจ์

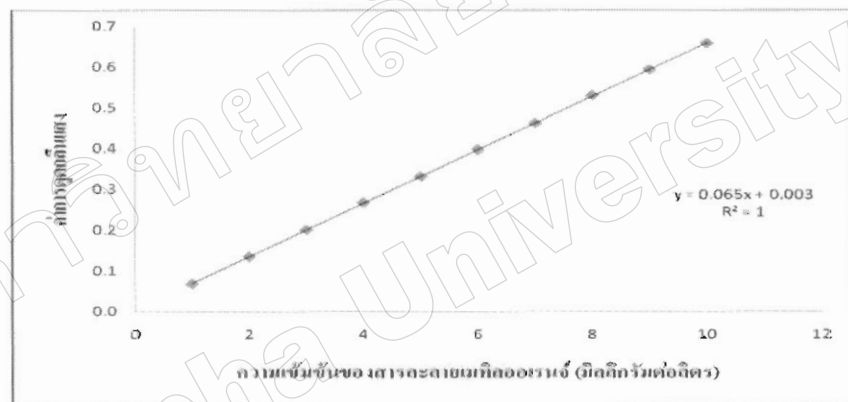
สร้างกราฟมาตรฐานของสีข้อมเมทิลไวโอลีต เมททิลีนบลูและเมทิลօอเรนจ์ สำหรับการวิเคราะห์หาความเข้มข้นของสีข้อมที่เหลือจากการดูดซับ โดยใช้ยีนกราฟความสัมพันธ์ระหว่างค่าความเข้มข้นของสีข้อมในช่วงความเข้มข้นระหว่าง 1-10 มิลลิกรัมต่อลิตรกับค่าการดูดกลืนแสงที่ความยาวคลื่นที่มีการดูดกลืนแสงสูงสุด 580, 665 และ 462 นาโนเมตร สำหรับสีข้อมเมทิลไวโอลีต เมททิลีนบลูและเมทิลօอเรนจ์ ตามลำดับ แสดงต่อไปนี้ 4-4 ถึง 4-6



ภาพที่ 4-4 กราฟมาตรฐานของสารละลายน้ำเมทิลไวโอลีต



ภาพที่ 4-5 กราฟมาตรฐานของสารละลายน้ำมาตรฐานสีข้มเมทิลีนบลู

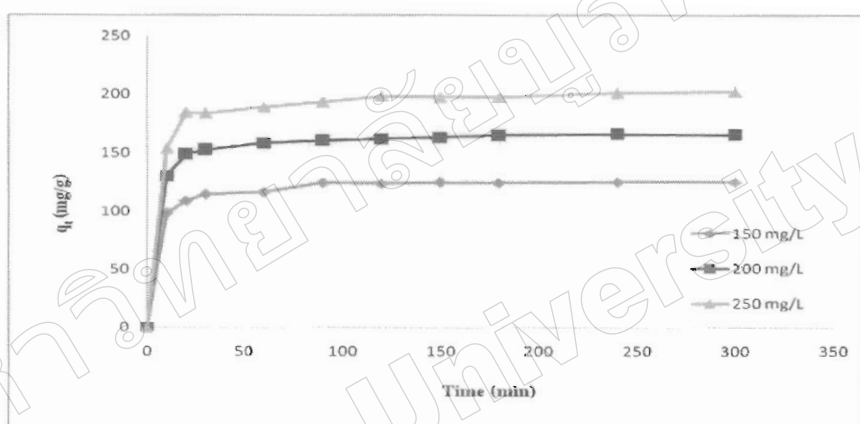


ภาพที่ 4-6 กราฟมาตรฐานของสารละลายน้ำมาตรฐานสีข้มเมทิลอลูเรนซ์

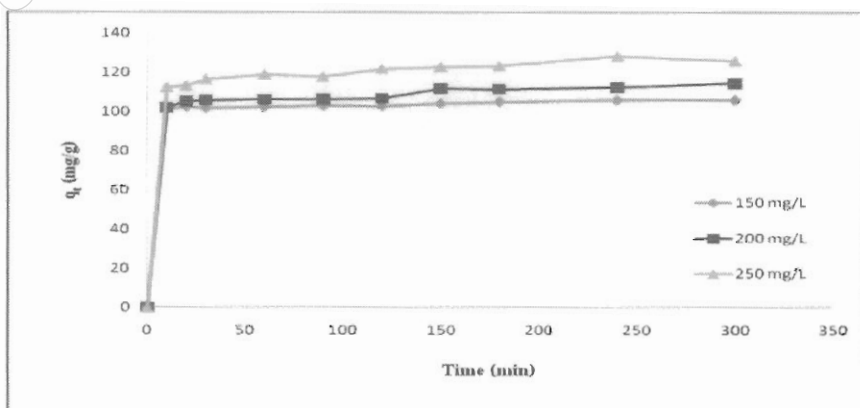
4.3 การศึกษาความเข้มข้นเริ่มต้นของสีข้มเมทิลไวโอลีต เมทิลีนบลู และเมทิลอลูเรนซ์ ที่มีผลต่อการดูดซับบนห่อนานในการรับอนแบบผนังหลายชั้น

การศึกษาอิทธิพลของความเข้มข้นของสีข้มเมทิลไวโอลีต เมทิลีนบลู และเมทิลอลูเรนซ์ ทำโดยการศึกษาการดูดซับสีข้อมีเวลาต่าง ๆ โดยใช้สารละลายน้ำสีข้มที่ความเข้มข้นต่างกัน 150, 200, 250 มิลลิกรัมต่อลิตร สำหรับเมทิลไวโอลีต เมทิลีนบลู และ 20, 30, 50 มิลลิกรัมต่อลิตรสำหรับเมทิลอลูเรนซ์ ปริมาณห่อนานในการรับอนแบบผนังหลายชั้นที่ทราบนี้หนักแน่นอนประมาณ 0.03 กรัม จากนั้นนำไปแก่วงในถ่างความคุณอุณหภูมิโดยปรับอุณหภูมิเท่ากับ 30 องศาเซลเซียสในช่วงระยะเวลาของการดูดซับที่แตกต่างกัน ตั้งแต่ 10 ถึง 300 นาที แล้วนำไปวัดค่าการดูดกึ่นแสงเพื่อวิเคราะห์หาปริมาณสีข้อมีห้งสามชนิดที่ถูกดูดซับ ณ เวลาใด ๆ

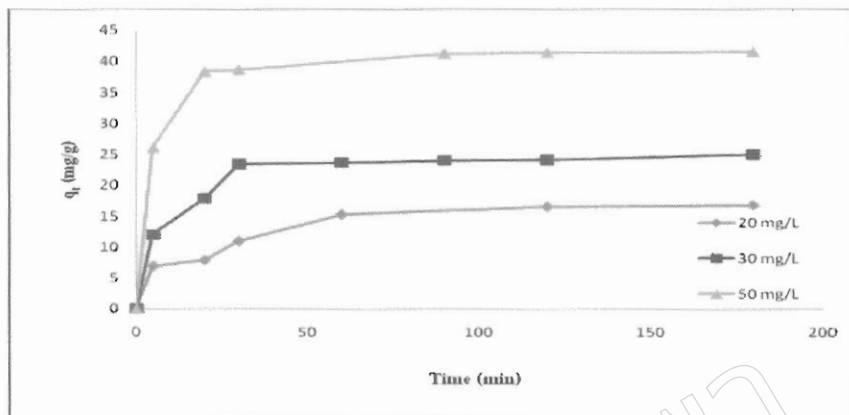
ผลของการศึกษาใช้ท่อนาโนคาร์บอนแบบพนังหลาชั้นดุดซับสีข้อมเนทิลไวโอลे�ต เมททิลีนบลูและเมทิลօอเรนจ์พบว่าในช่วงระยะเวลาเริ่มต้นของการดูดซับของสีข้อม ทั้งสามชนิดเกิดขึ้นอย่างรวดเร็วและเมื่อเวลาผ่านไป การดูดซับจะค่อยๆ คงที่จนกระทั่งเข้าสู่สมดุล โดยสมดุลการดูดซับสีข้อมเมทิลไวโอลे�ตเกิดขึ้นที่เวลาประมาณ 40 นาที สีข้อมเมททิลีนบลูเกิดขึ้นที่เวลาประมาณ 20 นาทีและสีข้อมเมทิลօอเรนจ์เกิดขึ้นที่เวลาประมาณ 60 นาที และเมื่อความเข้มข้นของสีข้อมทั้งสามชนิดเพิ่มขึ้น ปริมาณหรือความสามารถในการดูดซับสูงสุดเพิ่มขึ้น แสดงดังภาพที่ 4-7 ถึง 4-9 ตามลำดับ



ภาพที่ 4-7 ผลของการดูดซับสีข้อมเมทิลไวโอลे�ตต่อการดูดซับบนท่อนาโนคาร์บอนแบบพนังหลาชั้นดุดซับสีข้อม ที่อุณหภูมิ 30 องศาเซลเซียส



ภาพที่ 4-8 ผลของการดูดซับสีข้อมเมททิลีนบลูต่อการดูดซับบนท่อนาโนคาร์บอนแบบพนังหลาชั้นดุดซับสีข้อม ที่อุณหภูมิ 30 องศาเซลเซียส

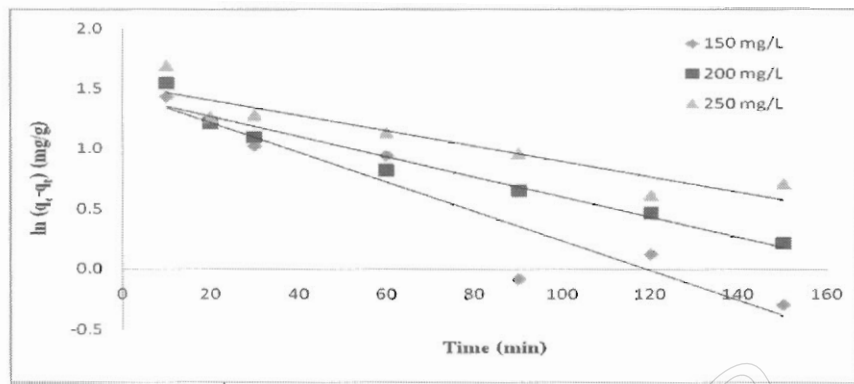


ภาพที่ 4-9 ผลของการเพิ่มขึ้นเรื่มต้นของสีข้อมเมทิลօอเรนจ์ต่อการดูดซับบนห้องน้ำในครัวบ่อนแบบผนังหดหายชั้นที่อุณหภูมิ 30 องศาเซลเซียส

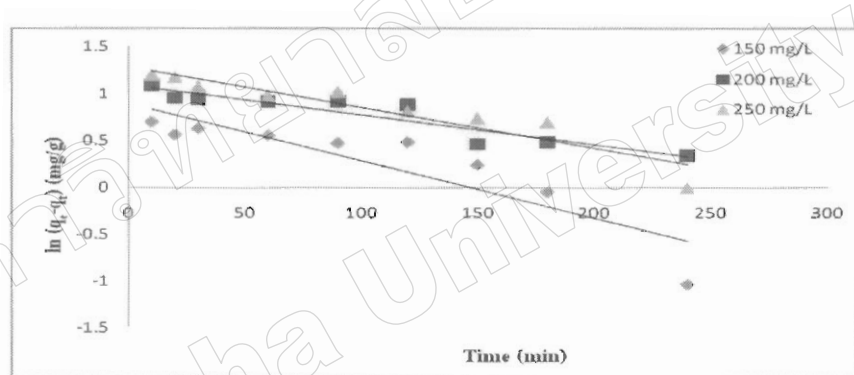
4.4 การศึกษาจอนศาสตร์ของการดูดซับสีข้อมเมทิลไวโอลีโนด เมทิลีนบลูและเมทิลօอเรนจ์บนห้องน้ำในครัวบ่อนแบบผนังหดหายชั้น

การศึกษาจอนศาสตร์ของการดูดซับสีข้อมบนห้องน้ำในครัวบ่อนแบบผนังหดหายชั้นในช่วงระยะเวลาสั้นผิดที่แตกต่างกันสำหรับแต่ละความเข้มข้นของสีข้อมในสารละลายที่แตกต่างกันทำโดยเปรียบเทียบกับแบบจำลองจอนศาสตร์ 2 แบบ คือปฎิกริยาอันดับหนึ่งสมมุติ (Pseudo-first-order-model) และปฎิกริยาอันดับสองสมมุติ (Pseudo-second-order-model) เพื่อศึกษาอันดับของจอนศาสตร์ของการดูดซับสีข้อม ค่าคงที่อัตราของการดูดซับ นอกจากนี้ศึกษาแบบจำลองการแพร่ภายนอก (Intraparticle diffusion model) เพื่ออธิบายกลไกการเกิดปฏิกริยาของจอนศาสตร์ของการดูดซับสีข้อมแต่ละชนิด

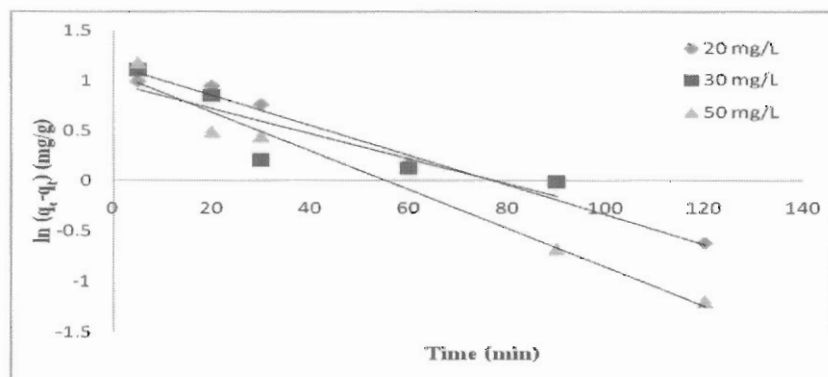
แบบจำลองจอนศาสตร์ของปฎิกริยาอันดับหนึ่งสมมุติของสีข้อมเมทิลไวโอลีโนด เมทิลีนบลูและเมทิลօอเรนจ์ ศึกษาโดยใช้กราฟความสัมพันธ์ระหว่าง $\ln (q_c - q_t)$ กับ t แสดงในภาพที่ 4-10 ถึง 4-12 ตามลำดับ และปริมาณการดูดซับที่สมดุลที่ได้จากการคำนวณ ($q_{e,cal}$) และค่าคงที่อัตราการดูดซับของปฎิกริยาอันดับหนึ่งสมมุติ (k_1) สามารถหาได้จากการคำนวณ y และความชันของกราฟ ตามลำดับ จากการวิเคราะห์ข้อมูลการทดลองพบว่า ค่า R^2 มีค่าต่ำกว่า 0.99 โดยมีค่าระหว่าง 0.527-0.949, 0.608-0.869 และ 0.722-0.850 สำหรับเมทิลไวโอลีโนด เมทิลีนบลูและเมทิลօอเรนจ์ตามลำดับ และค่า q_e ที่ได้จากการคำนวณ ($q_{e,cal}$) มีค่าแตกต่างกับค่า q_e ที่ได้จากการทดลอง ($q_{e,exp}$) อย่างมาก ดังแสดงในตารางที่ 4-1 ถึง 4-3 ตามลำดับ ดังนั้นจอนศาสตร์ของการดูดซับสีข้อมเมทิลไวโอลีโนด เมทิลีนบลูและเมทิลօอเรนจ์บนห้องน้ำในครัวบ่อนแบบผนังหดหายชั้นจึงไม่สอดคล้องกับแบบจำลองจอนศาสตร์ของปฎิกริยาอันดับหนึ่งสมมุติ



ภาพที่ 4-10 ผลของความเข้มข้นเริ่มต้นต่อจำนวนค่าสตาร์การดูดซับสีขึ้นเมมพิลไวโอลेटตามแบบจำลองจำนวนค่าสตาร์ของปฏิกิริยาอันดับหนึ่งสมมุติอุณหภูมิ 30 องศาเซลเซียส



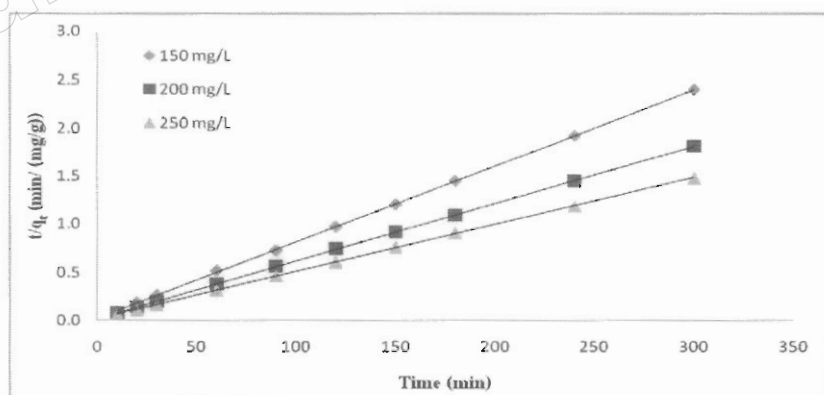
ภาพที่ 4-11 ผลของความเข้มข้นเริ่มต้นต่อจำนวนค่าสตาร์การดูดซับสีขึ้นเมมพิลีนบลูตามแบบจำลองจำนวนค่าสตาร์ของปฏิกิริยาอันดับหนึ่งสมมุติอุณหภูมิ 30 องศาเซลเซียส



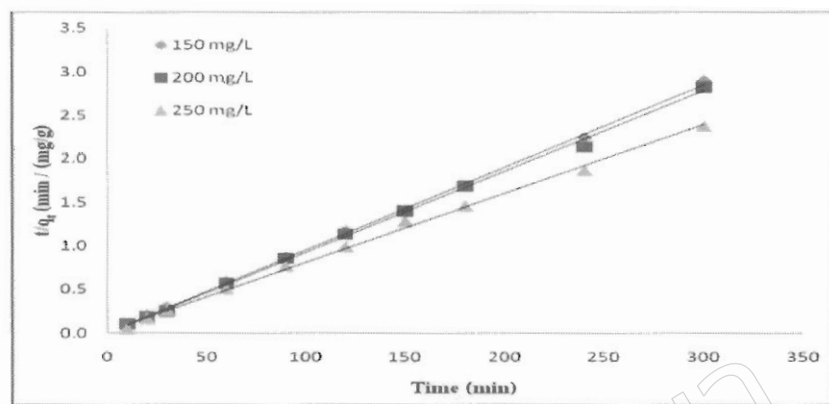
ภาพที่ 4-12 ผลของความเข้มข้นเริ่มต้นต่อจำนวนค่าสตาร์การดูดซับสีขึ้นเมมพิลโอลอเรนจ์ตามแบบจำลองจำนวนค่าสตาร์ของปฏิกิริยาอันดับหนึ่งสมมุติอุณหภูมิ 30 องศาเซลเซียส

แบบจำลองชลนศาสตร์ของปูกิริยาอันดับสองสมือน ศึกษาโดยเขียนกราฟความสัมพันธ์ระหว่าง $\frac{t}{q_t}$ กับ t แสดงดังภาพที่ 4-13 ถึง 4-15 ปริมาณการดูดซับที่สมดุลที่ได้จาก การคำนวณ ($q_{e,cal}$) และค่าคงที่อัตราการดูดซับของปูกิริยาอันดับสองสมือน (k_2) สามารถหาได้จากความชันของกราฟ และค่าตัดแกน y ตามลำดับ ค่า R^2 ของเส้นกราฟแต่ละความเข้มข้นมีค่ามากกว่า 0.99 ของสีข้อมสำหรับเมทิลไวโอลेट เมททิลีนบลูและเมทิลօเรนจ์ ดังในตารางที่ 4-1 ถึง 4-3 ตามลำดับ แสดงว่ามีความสัมพันธ์เชิงเส้นตรง และเมื่อพิจารณาค่าการดูดซับที่สมดุลที่ได้จากการคำนวณ ($q_{e,cal}$) ของแบบจำลองชลนศาสตร์ของปูกิริยาอันดับสองสมือนมีค่าใกล้เคียงกับค่าการดูดซับที่สมดุลที่ได้จากการทดลอง ($q_{e,exp}$) และเมื่อความเข้มข้นเริ่มต้นของสีข้อมเพิ่มขึ้น ค่า $q_{e,cal}$ มีแนวโน้มเพิ่มขึ้น เพราะการดูดซับสีข้อมอาจเข้าสู่ภาวะสนคุลของการดูดซับอีกตัวได้ดีกว่า จึงสรุปได้ว่าชลนศาสตร์ของการดูดซับของสีข้อมเมทิลไวโอลेट, เมททิลีนบลูและเมทิลօเรนเจ็นท่อนาโนคาร์บอนแบบผนังหลาญชั้นที่อุณหภูมิ 30 องศาเซลเซียสลดลงด้วยกับแบบจำลองชลนศาสตร์ของปูกิริยาอันดับสองสมือนเป็นอย่างดี

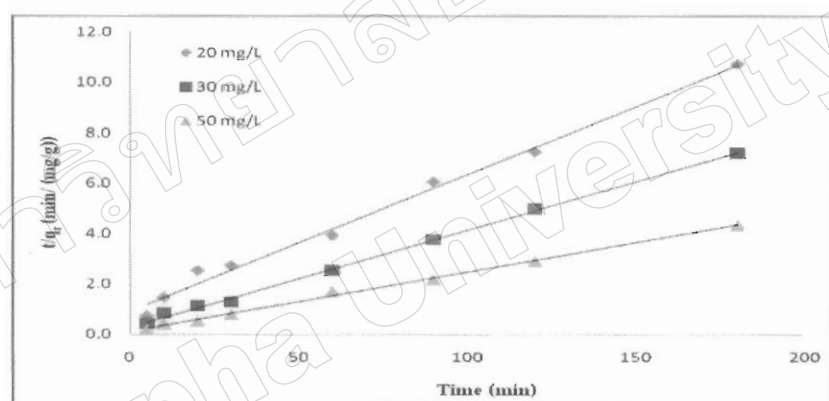
ดังนั้นแบบจำลองชลนศาสตร์ของปูกิริยาอันดับสองสมือนสามารถนำมาประยุกต์ใช้ได้เป็นอย่างดีสำหรับการดูดซับสีข้อมทั้งสามชนิดซึ่งสอดคล้องกับงานวิจัยก่อนหน้าที่ศึกษาการดูดซับสีข้อมเมทิลไวโอลेट (Yao et al., 2010) เมททิลีนบลู (Yao, Xu, Chen, & Zhu, 2010) และเมทิลօเรนจ์ (Yao, He, Xu, & Chen, 2011) บนท่อนาโนคาร์บอนแบบผนังหลาญชั้น ซึ่งเป็นปูกิริยาอันดับสองสมือนเข่นเดียวกัน



ภาพที่ 4-13 ผลของความเข้มข้นเริ่มต้นต่อชลนศาสตร์การดูดซับสีข้อมเมทิลไวโอลे�ตตามแบบจำลองชลนศาสตร์ของปูกิริยาอันดับสองสมือนที่อุณหภูมิ 30 องศาเซลเซียส



ภาพที่ 4-14 ผลของความเข้มข้นเริ่มต้นต่อจลนศาสตร์การดูดซับสีข้อมเมทิลีนบลูดาม
แบบจำลองจลนศาสตร์ของปูกิริยาอันดับสองสมมุติที่อุณหภูมิ 30 องศาเซลเซียส



ภาพที่ 4-15 ผลของความเข้มข้นเริ่มต้นต่อจลนศาสตร์การดูดซับสีข้อมเมทิลีโนเรนจ์ตาม
แบบจำลองจลนศาสตร์ของปูกิริยาอันดับสองสมมุติที่อุณหภูมิ 30 องศาเซลเซียส

ตารางที่ 4-1 ผลของความเข้มข้นต่อพารามิเตอร์ของการดูดซับสีข้อมเมทิลไวโอลีตตามแบบจำลอง
จลนศาสตร์ของปูกิริยาอันดับหนึ่งสมมุติ อันดับสองสมมุติและการแพร่ภายนอกในอนุภาค

Dye	C_0	$q_{e,exp}^{(a)}$	Pseudo-first-order			Pseudo-second-order			Intra-particle diffusion		
			$k_1^{(b)}$	$q_{e,cal}^{(a)}$	R^2	$k_2^{(c)}$	$q_{e,cal}^{(a)}$	R^2	$k_i^{(d)}$	$C^{(a)}$	R^2
MV	150	125.09	0.044	87.70	0.527	2.04×10^{-3}	142.86	0.999	1.631	102.2	0.737
	200	164.81	0.018	27.04	0.949	2.00×10^{-3}	166.67	1.000	1.975	137.3	0.715
	250	202.61	0.012	30.62	0.897	8.89×10^{-4}	250.00	0.999	2.512	165.0	0.686

^(a) (mg g^{-1}) ^(b) (min^{-1}) ^(c) ($\text{g mg}^{-1} \text{min}^{-1}$) ^(d) ($\text{mg g}^{-1} \text{min}^{-1/2}$)

ตารางที่ 4-2 ผลของความเข้มข้นต่อพารามิเตอร์ของการคูดซับสีย้อมเมทิลีนบลูตามแบบจำลอง
ขลนคานาสตร์ของปฏิกิริยาอันดับหนึ่งเสนมีอน อันดับสองเสนมีอนและการแพร่ภายนอก

Dye	C_0	$q_{e,exp}^{(a)}$	Pseudo-first-order			Pseudo-second-order			Intra-particle diffusion		
			$k_1^{(b)}$	$q_{e,cal}^{(a)}$	R^2	$k_2^{(c)}$	$q_{e,cal}^{(a)}$	R^2	$k_i^{(d)}$	$C^{(a)}$	R^2
MB	150	105.93	9.21×10^{-3}	5.70	0.608	4.76×10^{-3}	111.11	0.999	0.355	99.85	0.928
	200	114.46	6.09×10^{-4}	12.45	0.869	1.88×10^{-3}	125.00	0.999	0.778	100.4	0.895
	250	128.51	6.09×10^{-4}	17.06	0.824	1.58×10^{-3}	142.86	0.999	1.066	109.6	0.930

(a) (mg g^{-1}) (b) (min^{-1}) (c) ($\text{g mg}^{-1} \text{min}^{-1}$) (d) ($\text{mg g}^{-1} \text{min}^{-1/2}$)

ตารางที่ 4-3 ผลของความเข้มข้นต่อพารามิเตอร์ของการคูดซับสีย้อมเมทิลออกเรนตามแบบจำลอง
ขลนคานาสตร์ของปฏิกิริยาอันดับหนึ่งเสนมีอน อันดับสองเสนมีอนและการแพร่ภายนอก

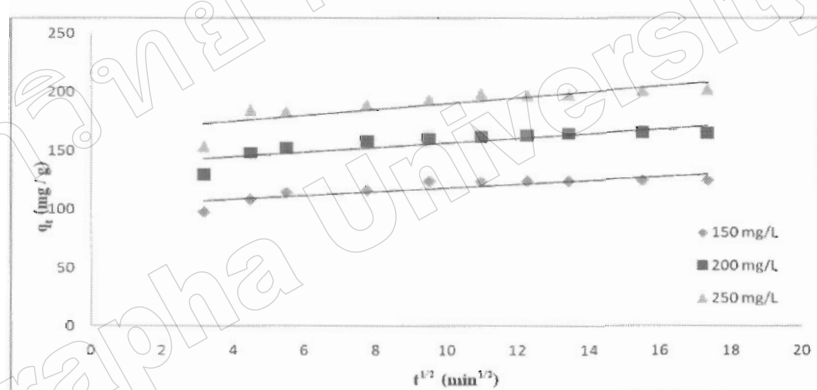
Dye	C_0	$q_{e,exp}^{(a)}$	Pseudo-first-order			Pseudo-second-order			Intra-particle diffusion		
			$k_1^{(b)}$	$q_{e,cal}^{(a)}$	R^2	$k_2^{(c)}$	$q_{e,cal}^{(a)}$	R^2	$k_i^{(d)}$	$C^{(a)}$	R^2
MO	20	16.81	8.29×10^{-2}	94.19	0.760	3.16×10^{-3}	18.52	0.991	1.124	2.642	0.946
	30	25.02	8.06×10^{-2}	70.96	0.722	5.05×10^{-3}	26.32	0.998	1.332	9.113	0.820
	50	41.43	4.38×10^{-2}	18.37	0.850	4.41×10^{-3}	43.48	0.996	1.519	23.04	0.669

(a) (mg g^{-1}) (b) (min^{-1}) (c) ($\text{g mg}^{-1} \text{min}^{-1}$) (d) ($\text{mg g}^{-1} \text{min}^{-1/2}$)

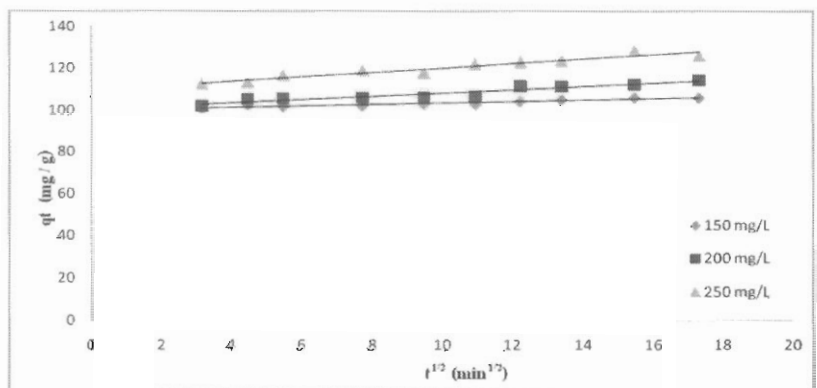
นอกจากการเปรียบเทียบกับแบบจำลองขลนคานาสตร์ของปฏิกิริยาอันดับหนึ่งเสนมีอนและปฏิกิริยาอันดับสองเสนมีอน ได้ทำการศึกษาเพิ่มเติมกับแบบจำลองการแพร่ภายนอกในอนุภาคซึ่งเป็นการศึกษาถก ไกการเกิดปฏิกิริยา โดยพิจารณาจากขั้นตอนที่กำหนดด้วยตัวของขลนคานาสตร์ของการคูดซับ โดยทั่วไปกลไกการคูดซับประกอบด้วย 4 ขั้นตอน ขั้นตอนที่หนึ่ง เป็นการเคลื่อนที่ (Migration) ของสีย้อมจากสารละลาย (Bulk solution) ไปบนพื้นผิวของตัวคูดซับ ขั้นตอนที่สอง เป็นการแพร่ (Diffusion) ของสีย้อมจากบริเวณผิวรอยต่อ (Boundary layer) หรือชั้นฟิล์มของเหลว (Liquid film) ไปยังพื้นผิวภายนอกของตัวคูดซับ ขั้นตอนที่สาม เป็นการคูดซับ (Adsorption) ของสีย้อมที่บริเวณตำแหน่ง Active site บนพื้นผิวของตัวคูดซับ และขั้นตอนที่สี่ เป็นการแพร่ภายนอกในอนุภาค (Intra-particle diffusion) ซึ่งเกี่ยวข้องกับการแพร่ภายนอกของสีย้อมจากพื้นผิว

กายนอกเข้าไปในรูปนูของอนุภาคตัวถูกดูดซับ (Ma et al., 2012) หากเขียนกราฟระหว่าง q_t กับ $t^{1/2}$ ได้กราฟเส้นตรงที่มีค่า R^2 เข้าใกล้ 1.00 และผ่านจุดกำเนิด แสดงว่าแบบจำลองการแพร่ภายนอกเป็นขั้นตอนกำหนดหรือควบคุมอัตราของจนศาสตร์การดูดซับเพียงขั้นตอนเดียว แต่หากกราฟที่ได้เป็นเส้นตรงและไม่ผ่านจุดกำเนิด แสดงว่าจนศาสตร์ของการดูดซับเกี่ยวข้องกับแบบจำลองการแพร่ภายนอกเป็นขั้นตอนกำหนดหรือควบคุมอัตรา ดังนั้นแบบจำลองการแพร่ภายนอกไม่ได้เป็นขั้นกำหนดหรือควบคุมอัตราของจนศาสตร์ของการดูดซับเพียงอย่างเดียว แต่ยังมีแบบจำลองอื่น ๆ ทางจนศาสตร์ อาจจะกำหนดหรือควบคุมอัตราของการดูดซับ ซึ่งเกิดขึ้นอย่างพร้อมๆ กัน (Özcan et al., 2006)

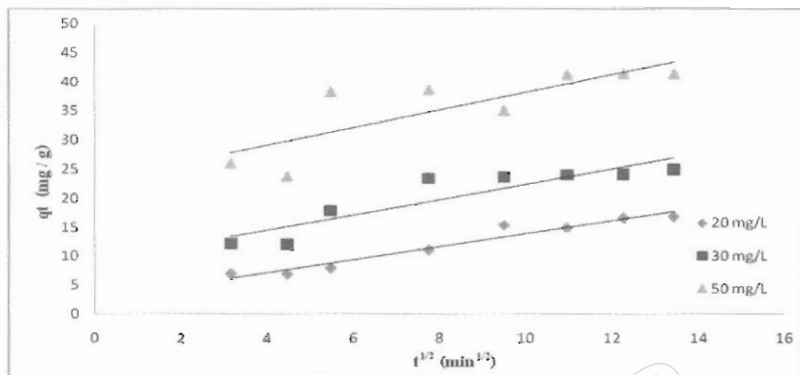
กราฟระหว่าง q_t กับ $t^{1/2}$ ของสีเย็บแต่ละชนิดแสดงดังภาพที่ 4-16 ถึง 4-18 ค่า C และค่าคงที่อัตราอันเนื่องมาจาก การแพร่ภายนอก (k_1) ซึ่งสามารถหาได้จากค่าตัดแกน y และความชันของกราฟ ตามลำดับ



ภาพที่ 4-16 ผลของความเข้มข้นเริ่มต้นต่อจนศาสตร์การดูดซับสีเย็บเมทิลไวโอลे�ตตามแบบจำลองแพร่ภายนอกที่อุณหภูมิ 30 องศาเซลเซียส



ภาพที่ 4-17 ผลของความเข้มข้นเริ่มต้นต่อจนศาสตร์การดูดซับสีเย็บเมทิลีนบลูตามแบบจำลองแพร่ภายนอกที่อุณหภูมิ 30 องศาเซลเซียส



ภาพที่ 4-18 ผลของความเข้มข้นเริ่มต้นต่ออัตราการดูดซับสีข้อมเมทิลօอเรน์ตามแบบจำลองแพร์กายในอนุภาครีบุนที่อุณหภูมิ 30 องศาเซลเซียส

จากการทดลองทุกความเข้มข้นเริ่มต้นของสีข้อมทั้งสามชนิด พบร่วมค่า R^2 มีค่าต่ำกว่า 0.99 โดยมีค่าระหว่าง 0.686-0.737, 0.895-0.930 และ 0.669-0.946 สำหรับเมทิลไวโอลีต เมททิลีนบลู และเมทิลօอเรน์ตามลำดับ และพบว่ากราฟที่ได้มีลักษณะเป็นเส้นตรงแต่ไม่ผ่านจุดกำเนิด แสดงดังภาพที่ 4-16 ถึง 4-18 ดังนั้นอัตราการดูดซับสีข้อมบนท่อนาโนคาร์บอนแบบพนังหลาชั้นเกี่ยวข้องกับแบบจำลองการแพร์กายในอนุภาครีบุน แต่แบบจำลองดังกล่าวไม่ได้เป็นขั้นกำหนดอัตราเพียงอย่างเดียว เมื่อความเข้มข้นเริ่มต้นของสีข้อมเพิ่มขึ้น ค่า C บ่งบอกถึงความหนาของชั้นฟิล์มผิวออยต่อ (Boundary thickness) มีค่ามากขึ้น แสดงว่าอิทธิพลของ Boundary layer diffusion ต่ออัตราการดูดซับเพิ่มมากขึ้น และค่าคงที่อัตราอันเนื่องมาจากการแพร์กายในอนุภาครีบุน (k_1) มีค่ามากขึ้น แสดงดังในตารางที่ 4-1 ถึง 4-3 ซึ่งสอดคล้องเป็นอย่างดีกับงานวิจัยก่อนหน้า เรื่องการดูดซับสีข้อมเมทิลีนบลูบนท่อนาโนคาร์บอน (Yao et al., 2010) และสมดุลและอัตราการดูดซับสีข้อมเมทิลօอเรน์บนท่อนาโนคาร์บอน (Yao, He, Xu, & Chen, 2011)

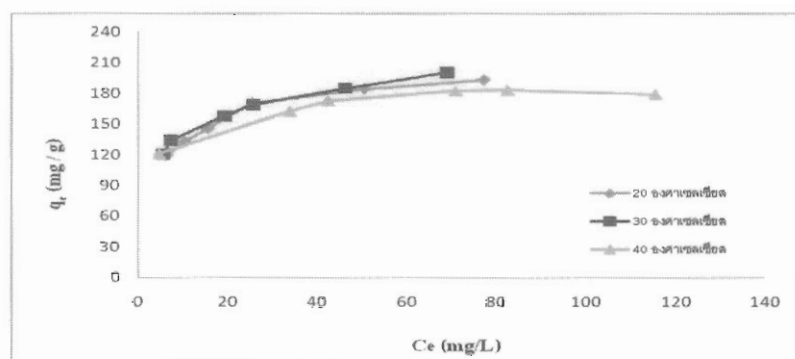
4.5 การศึกษาประโยชน์ของสมดุลการดูดซับสีข้อมเมทิลไวโอลีต เมททิลีนบลูและเมทิลօอเรน์

ในงานวิจัยศึกษาความสัมพันธ์ระหว่างปริมาณสีข้อมที่ถูกดูดซับกับความเข้มข้นของสารละลายสีข้อมที่สภาวะสมดุลที่อุณหภูมิก็ที่ได้ฯ โดยใช้น้ำหนักของท่อนาโนคาร์บอนแบบพนังหลาชั้น 0.03 กรัม แต่เปลี่ยนความเข้มข้นเริ่มต้นของสารละลายสีข้อมในแต่ละแบบที่ให้ต่างกันอยู่ในช่วงระหว่าง 150 - 370 มิลลิกรัมต่อลิตร เวลาในการดูดซับ 24 ชั่วโมง เพื่อให้เข้าสู่สมดุลอย่างสมบูรณ์ (จากการทดลองก่อนหน้าที่ให้เห็นว่าการดูดซับสีข้อมเมทิลไวโอลีต เมททิลีนบลู

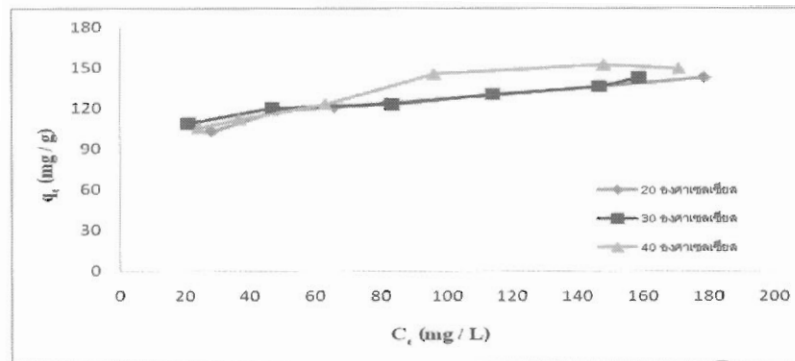
เข้าสู่สมดุลที่เวลาประมาณ 40, 20 นาที สำหรับสีข้อมเมทิลไวโอลे�ต เมททิลีนบลูตามลำดับ) โดยควบคุมอุณหภูมิที่ 15, 30 และ 45 องศาเซลเซียส และการเปลี่ยนความเข้มข้นเริ่มต้นระหว่าง 40 - 80 มิลลิกรัมต่อลิตร เวลาในการดูดซับ 1 ชั่วโมง 30 นาที สำหรับสีข้อมเมทิลอลอเรนจ์เพื่อให้เข้าสู่สมดุลอย่างสมบูรณ์ (จากการทดลองก่อนหน้าแสดงให้เห็นว่าการดูดซับสีข้อมเมทิลอลอเรนจ์เข้าสู่สมดุลที่เวลาประมาณ 60 นาที) โดยควบคุมอุณหภูมิที่ 30 และ 45 องศาเซลเซียส

โดยทั่วไปกระบวนการดูดซับ จะเกิดขึ้นไปเรื่อยๆ โดยสารเกิดการดูดซับ (Adsorption) และเกิดการถ่ายการดูดซับ(Desorption) ไปพร้อมๆ กัน (จตุพร วิทยาคุณ และอนุรักษ์ กฤญาณรักษ์, 2547) ซึ่งสมดุลการดูดซับจะเกิดขึ้นเมื่ออัตราการดูดซับและอัตราการถ่ายการดูดซับเท่ากัน จึงไม่มีการเปลี่ยนแปลงความเข้มข้นของตัวกรุดูดซับบนพื้นผิวตัวดูดซับและในสารละลายน้ำโซเดียม ของสมดุลการดูดซับ (Equilibrium adsorption isotherm) ใช้อธิบายข้อมูลเกี่ยวกับลักษณะพื้นผิวของตัวดูดซับว่าเป็น Homogeneous หรือ Heterogeneous และอธิบายถึงการกระจายตัวของโนเดกุลของตัวกรุดูดซับในวัสดุของเหลว (สารละลายน้ำ) และวัสดุของแข็ง (ตัวดูดซับ) เมื่อกระบวนการดูดซับเข้าสู่ภาวะสมดุล

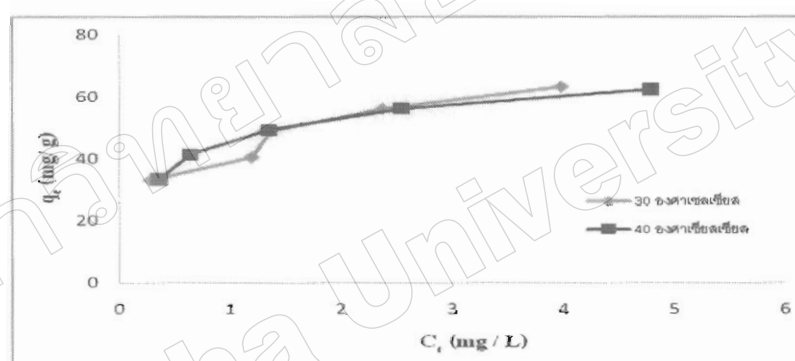
กราฟไออกโซเดียมของการดูดซับสีข้อมเมทิลไวโอลे�ต เมททิลีนบลูและเมทิลอลอเรนจ์บนท่อนาโนคาร์บอนแบบผังลายชั้นที่อุณหภูมิ 15, 30 และ 45 องศาเซลเซียส แสดงดังภาพที่ 4-19 ถึง 4-21 ตามลำดับ พบร่วมกันการดูดซับบนตัวดูดซับจะเพิ่มขึ้นเมื่อความเข้มข้นที่สมดุลของสีข้อมทั้งสามชนิดเพิ่มขึ้น และเมื่อความเข้มข้นที่สมดุลสูงขึ้นเรื่อยๆ จนค่าๆ หนึ่ง ปริมาณการดูดซับบนตัวดูดซับมีค่าคงที่ซึ่งเกิดขึ้นที่ทุกอุณหภูมิ



ภาพที่ 4-19 ไออกโซเดียมของการดูดซับสีข้อมเมทิลไวโอลे�ตบนท่อนาโนคาร์บอนที่อุณหภูมิต่างๆ



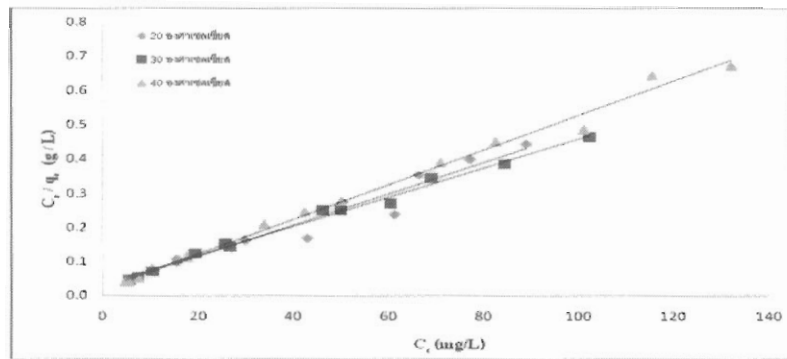
ภาพที่ 4-20 ไอโซเทอร์มของการดูดซับสีบีโอมเมทิลีนบลูบนห้องทดลองที่อุณหภูมิต่าง ๆ



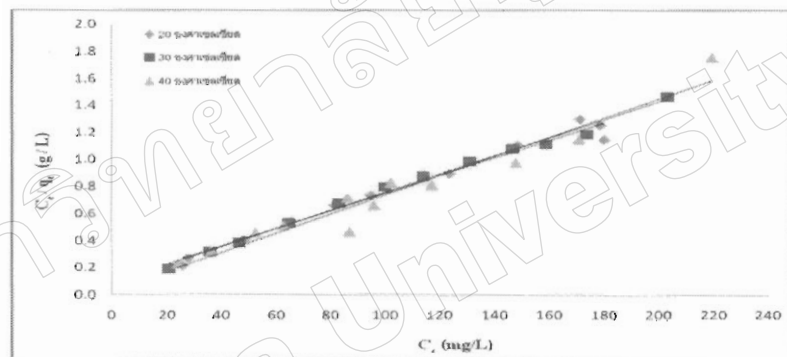
ภาพที่ 4-21 ไอโซเทอร์มของการดูดซับสีบีโอมเมทิลีนบลูและเมทิลีนบลูบนห้องทดลองที่อุณหภูมิต่าง ๆ

การศึกษาไอโซเทอร์มของการดูดซับแต่ละอุณหภูมิ โดยไอโซเทอร์มที่ใช้ในการศึกษาการดูดซับสีบีโอมเมทิลีนบลูโดยเดต เมทิลีนบลูและเมทิลีนบลูที่ลองเรนจ์นห้องทดลองที่อุณหภูมิต่าง ๆ คือไอโซเทอร์มของแลงเมียร์ (Langmuir isotherm) ไอโซเทอร์มของฟรุนคลิช (Freundlich isotherm) และไอโซเทอร์มของเทมคิน (Temkin isotherm) โดยศึกษาที่อุณหภูมิ 15, 30 และ 40 องศาเซลเซียส

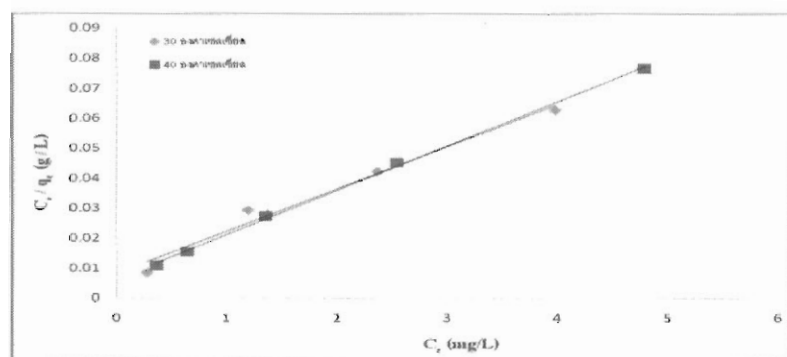
ไอโซเทอร์มของแลงเมียร์ (Langmuir isotherm) โดยเขียนกราฟระหว่างค่า $\frac{C_e}{q_e}$ กับ C_e จะได้กราฟเส้นตรงที่มีความชันเท่ากับ $\frac{1}{q_{\max}}$ และมีค่าตัดแกน y เท่ากับ $\frac{1}{K_L q_{\max}}$ แสดงดังภาพที่ 4-22 ถึง 4-24 สำหรับสีบีโอมแต่ละชนิด



ภาพที่ 4-22 กราฟแสดงความสัมพันธ์เชิงเส้นการดูดซับสีขึ้นเมทิลไวโอลีตบนห้องทดลองตามสมการไอโซเทอร์มของแลงเมียร์ ที่อุณหภูมิ 20, 30, 40 องศาเซลเซียส

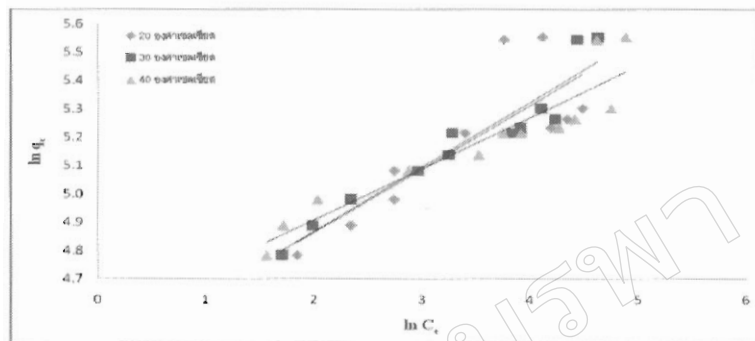


ภาพที่ 4-23 กราฟแสดงความสัมพันธ์เชิงเส้นการดูดซับสีขึ้นเมทิลินบลูบนห้องทดลองตามสมการไอโซเทอร์มของแลงเมียร์ ที่อุณหภูมิ 20, 30, 40 องศาเซลเซียส

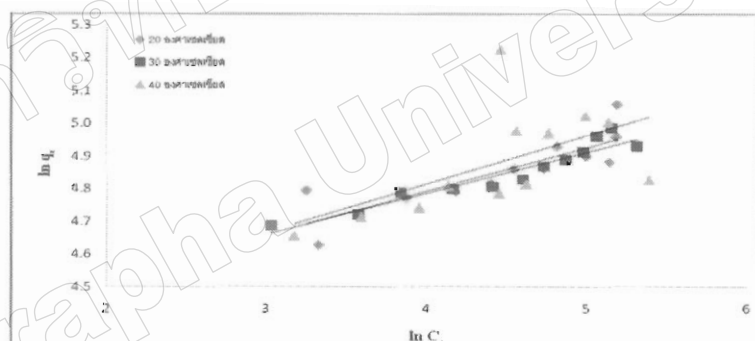


ภาพที่ 4-24 กราฟแสดงความสัมพันธ์เชิงเส้นการดูดซับสีขึ้นเมทิลอลอเรนจ์บนห้องทดลองตามสมการไอโซเทอร์มของแลงเมียร์ ที่อุณหภูมิ 30, 40 องศาเซลเซียส

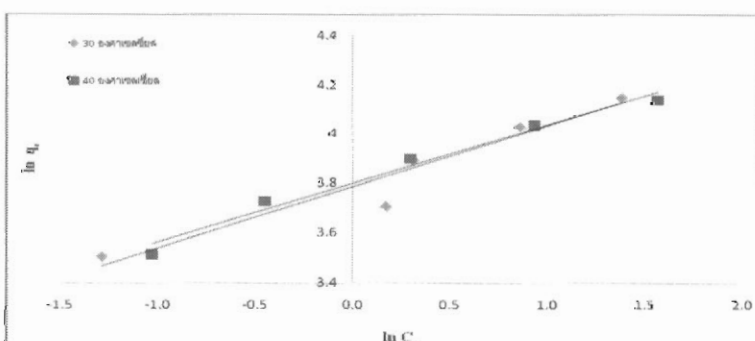
ไฮโซเทอร์มของฟรุนคลิช (Freundlich isotherm) โดยเป็นการพิจารณาความสัมพันธ์เชิงเส้นระหว่าง $\ln q_e$ กับ $\ln C_e$ จะเป็นเส้นตรงที่มีความชันเท่ากับ $\frac{1}{n}$ และค่าตัดแกน y เท่ากับ $\ln K_F$ แสดงดังภาพที่ 4-25 ถึง 4-27



ภาพที่ 4-25 กราฟแสดงความสัมพันธ์เชิงเส้นการดูดซับสีข้อมูลเมทิลไวโอลีตบนห้องทดลองตามสมการไฮโซเทอร์มของฟรุนคลิช ที่อุณหภูมิ 20, 30, 40 องศาเซลเซียส

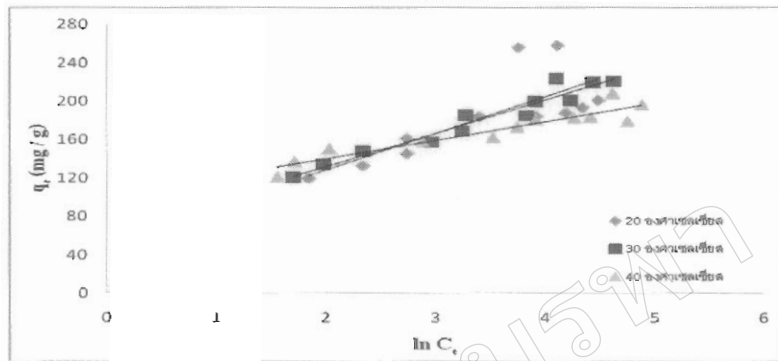


ภาพที่ 4-26 กราฟแสดงความสัมพันธ์เชิงเส้นการดูดซับสีข้อมูลที่ลีนบลูบันห้องทดลองตามสมการไฮโซเทอร์มของฟรุนคลิช ที่อุณหภูมิ 20, 30, 40 องศาเซลเซียส

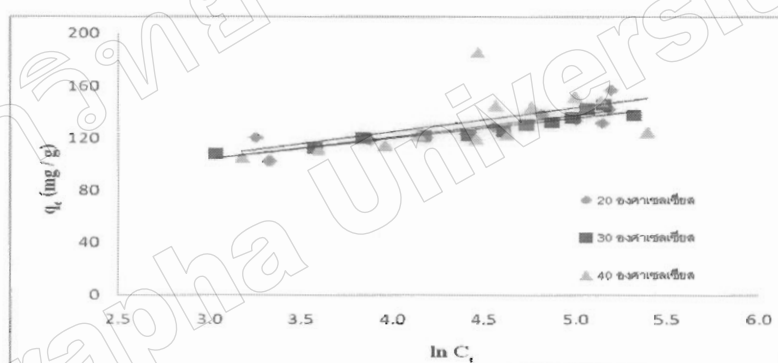


ภาพที่ 4-27 กราฟแสดงความสัมพันธ์เชิงเส้นการดูดซับสีข้อมูลที่โลอเรนจ์บันห้องทดลองตามสมการไฮโซเทอร์มของฟรุนคลิช ที่อุณหภูมิ 20, 30, 40 องศาเซลเซียส

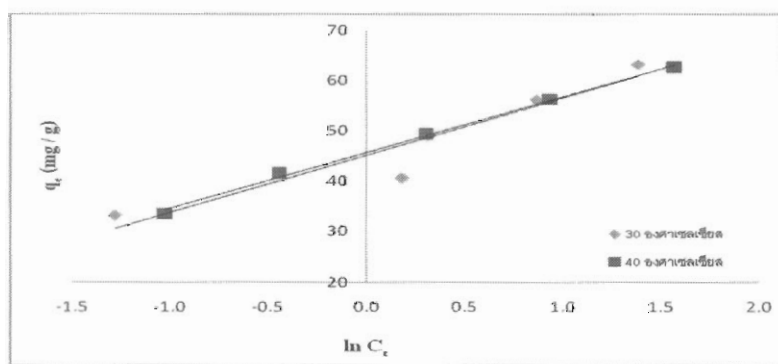
ไฮโซเทอร์มของเทมคิน (Temkin isotherm) โดยเป็นกราฟระหว่างค่า q_e กับ $\ln C_e$ จะได้ กราฟเส้นตรงที่มีความชันเท่ากับ B_T และค่าตัดแกน y เท่ากับ $B_T \ln K_T$ แสดงดังภาพที่ 4-28 ถึง 4-30



ภาพที่ 4-28 กราฟแสดงความสัมพันธ์เชิงเส้นการดูดซับสีข้อมูลทิลไวโอลีตบนท่อนาโนคาร์บอน ตามสมการไฮโซเทอร์มของเทมคิน ที่อุณหภูมิ 20, 30, 40 องศาเซลเซียส



ภาพที่ 4-29 กราฟแสดงความสัมพันธ์เชิงเส้นการดูดซับสีข้อมูลทิลีนบลูบนท่อนาโนคาร์บอน ตามสมการไฮโซเทอร์มของเทมคิน ที่อุณหภูมิ 20, 30, 40 องศาเซลเซียส



ภาพที่ 4-30 กราฟแสดงความสัมพันธ์เชิงเส้นการดูดซับสีข้อมูลทิลօอเรนจ์บนท่อนาโนคาร์บอน ตามสมการไฮโซเทอร์มนของเทมคิน ที่อุณหภูมิ 30, 40 องศาเซลเซียส

จากการศึกษาพารามิเตอร์ต่างของแต่ละแบบจำลอง ไอโซเทอร์มของสมดุลการดูดซับสีเยื่อเมทิลไวโอลेट เมททิลีนบลู ที่อุณหภูมิ 20, 30, 40 องศาเซลเซียสและที่อุณหภูมิ 30, 40 องศาเซลเซียสสำหรับเมทิลออกเรนจ์ แสดงดังตารางที่ 4-4 ถึง 4-6 จะเห็นได้ว่าค่า R^2 ของ ไอโซเทอร์มของแลงเมียร์มีค่ามากกว่า ไอโซเทอร์มของฟรุนคลิชและ ไอโซเทอร์มของเทมคิน โดยค่า R^2 มีค่าอยู่ระหว่าง 0.951-0.992, 0.946-0.993, 0.978-0.998 สำหรับสีเยื่อเมทิลไวโอลेट เมททิลีนบลูและเมทิลออกเรนจ์ ตามลำดับ ซึ่งมีค่าเข้าใกล้ 1 แสดงว่าการดูดซับสีเยื่อเมทิลไวโอลेट เมททิลีนบลู และเมทิลออกเรนจ์ ตามลำดับ ซึ่งมีค่าเข้าใกล้ 1 แสดงว่าการดูดซับทั้งสามสอดคล้องกับสมการเชิงเส้นตรงของแบบจำลอง ไอโซเทอร์มของแลงเมียร์ โดยจากการวิจัยก่อนหน้า ไอโซเทอร์มของแลงเมียร์สามารถนำมาประยุกต์ใช้อธิบายการดูดซับสีเยื่อเมทิลไวโอลेट (Yao et al., 2010), เมททิลีนบลู (Yao, Xu, Chen, & Zhu, 2010; Ai et al., 2011; Wang et al., 2012; Li et al., 2013) และเมทิลออกเรนจ์ (Yao, He, Xu, & Chen, 2011; Wang, Huang, & Zhang, 2013) บนท่อนาโนกรีบอนแบบผนังหลายชั้น ได้เป็นอย่างดี

ตารางที่ 4-4 พารามิเตอร์ของ ไอโซเทอร์มของสมดุลการดูดซับสีเยื่อเมทิลไวโอลेटบนท่อนาโนกรีบอนแบบผนังหลายชั้น

Langmuir isotherm	T (°C)	$q_{\max}^{(a)}$	$K_L^{(b)}$	$K_L^{(c)}$	R_L	R^2
	20	250	0.1739	68.43	0.0153	0.951
	30	250	0.1290	50.76	0.0205	0.992
	40	200	0.2380	93.65	0.0112	0.991
Freundlich isotherm	T (°C)	n	$K_F^{(d)}$		R^2	
	20	4.4642	82.599		0.680	
	30	4.9019	88.588		0.951	
	40	8.3333	109.508		0.886	
Temkin isotherm	T (°C)	K_T	B_T		R^2	
	20	1.091×10^{-8}	0.015		0.585	
	30	5.148×10^{-28}	0.027		0.942	
	40	3.989×10^{-44}	0.045		0.883	

(a) (mg g^{-1}) (b) (L mg^{-1}) (c) (L mmol^{-1}) (d) ($\text{mg/g(L/mg)}^{1/n}$)

ตารางที่ 4-5 พารามิเตอร์ของไอโซเทอร์มของสมดุลการดูดซับสีเข้มเมทิลีนบลูนท่อนาโน่
คาร์บอนแบบพนังหลาชั้น

Langmuir isotherm	T (°C)	$q_{\max}^{(a)}$	$K_L^{(b)}$	$K_L^{(c)}$	R_L	R^2
Freundlich isotherm	20	166.67	0.062	23.18	0.0418	0.980
	30	166.67	0.067	25.05	0.0388	0.993
	40	142.86	0.249	93.44	0.0107	0.946
Temkin isotherm	T (°C)	n	$K_F^{(d)}$			R^2
	20	7.5188	70.668			0.725
	30	7.9365	70.385			0.913
	40	6.8027	68.237			0.339
Temkin isotherm	T (°C)	K_T	B_T			R^2
	20	0.024	16.89			0.706
	30	0.037	15.78			0.893
	40	0.015	18.63			0.274

(a) (mg g^{-1}) (b) (L mg^{-1}) (c) (L mmol^{-1}) (d) ($\text{mg/g(L/mg)}^{1/n}$)

ตารางที่ 4-6 พารามิเตอร์ของไอโซเทอร์มของสมดุลการดูดซับสีเข้มเมทิลีนเรนจ์บันท่อนาโน่
คาร์บอนแบบพนังหลาชั้น

Langmuir isotherm	T (°C)	$q_{\max}^{(a)}$	$K_L^{(b)}$	$K_L^{(c)}$	R_L	R^2
Freundlich isotherm	30	74.43	1.679	549.6	0.0074	0.978
	40	74.43	2.239	777.7	0.0055	0.998
Temkin isotherm	T (°C)	n	$K_F^{(d)}$			R^2
	30	4.048	43.992			0.929
	40	1.219	44.612			0.979
Temkin isotherm	T (°C)	K_T	B_T			R^2
	30	0.053	11.36			0.901
	40	0.061	11.14			0.996

(a) (mg g^{-1}) (b) (L mg^{-1}) (c) (L mmol^{-1}) (d) ($\text{mg/g(L/mg)}^{1/n}$)

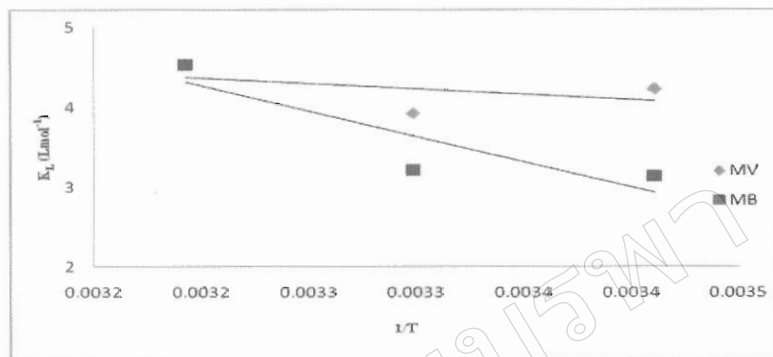
ไอโซเทอร์มของแลงเมียร์สามารถอธิบายการดูดซับสีข้อมเมทิลไวโอลे�ต เมททิลีนบลู และเมทิลօเรนจ์ได้ทั้งสามอุณหภูมิ แสดงว่าเกิดการดูดซับแบบชั้นเดียว (Monolayer) ทุกบริเวณ ของตัวดูดซับมีความสามารถดูดตัวถูกดูดซับได้เท่ากันและไม่เกิดลักษณะที่ถูกดูดซับที่ติดกัน จะไม่เกิดอันตรายร้ายต่อ ก้าวทั้งค่า R_L อยู่ระหว่าง 0.01123-0.02052, 0.01071-0.04177 และ 0.0055-0.0074 สำหรับสีข้อมเมทิลไวโอลे�ต เมททิลีนบลูและเมทิลօเรนจ์ตามลำดับ ซึ่งค่า R_L อยู่ระหว่าง 0 ถึง 1 หมายความว่า เป็นการดูดซับที่ดี (Favorable adsorption) (Ai et al., 2011) แสดงว่า ไอโซเทอร์มของแลงเมียร์อธิบายการดูดซับสีข้อมบันท่อนาโนการ์บอนได้เป็นอย่างดี

พิจารณาความสามารถในการดูดซับมากที่สุดทางทฤษฎีตามไอโซเทอร์มของแลงเมียร์ (q_{max}) แสดงดังตารางที่ 4-4 ถึง 4-6 พบว่าความสามารถของห่อนาโนการ์บอนแบบผนังหลายชั้น ทางการค้าในการดูดซับมากที่สุด (q_{max}) ของสีข้อมเมทิลไวโอลे�ต เมททิลีนบลูและเมทิลօเรนจ์ เท่ากับ 250, 167 และ 75 มิลลิกรัมต่อกิโลกรัม ที่อุณหภูมิ 30 องศาเซลเซียส แสดงว่าห่อนาโนการ์บอน แสดงความสามารถในการดูดซับสีข้อมแทบทื่องอนิก (เมทิลไวโอลे�ต และ เมททิลีนบลู) ได้สูงกว่า สีข้อมแอนไออกอนิก (เมทิลօเรนจ์) นอกจากนี้ค่า K_L ที่ได้จากไอโซเทอร์มของแลงเมียร์ที่แต่ละ อุณหภูมิของสีข้อมแต่ละชนิด พบร่วมกันเมื่ออุณหภูมิสูงขึ้น ค่า K_L นิ่งมากขึ้น ยกเว้น สีข้อมเมทิลไวโอลे�ต ค่า K_L ที่อุณหภูมิ 20 องศาเซลเซียสสูงกว่า ที่อุณหภูมิ 30 องศาเซลเซียส แสดงว่าการดูดซับของสีข้อม ทั้งสามชนิดบนห่อนาโนการ์บอนเพิ่มขึ้นเมื่ออุณหภูมิเพิ่มขึ้น

4.6 การศึกษาอุณหพลศาสตร์ของการดูดซับสีข้อมเมทิลไวโอลेत เมททิลีนบลูบน ห่อนาโนการ์บอนแบบผนังหลายชั้น

การศึกษาอุณหพลศาสตร์ของการดูดซับสีข้อมบันท่อนาโนการ์บอนแบบผนังหลายชั้น เป็นการศึกษาที่เกี่ยวข้องกับพลังงาน เมื่อทำให้อุณหภูมิของสารเปลี่ยนแปลง อาจทำให้เกิดการ เปลี่ยนแปลงทางกายภาพหรือทางเคมี ซึ่งการเปลี่ยนแปลงพลังงานดังกล่าวจะทำให้พลังงาน เปลี่ยนไป การติดตามการเปลี่ยนแปลงพลังงานสามารถใช้ทำนายทิศทางการเกิดปฏิกิริยาได้ ดังนั้น ในงานวิจัยจึงศึกษาการเปลี่ยนแปลงพลังงานที่เกี่ยวข้องกับการดูดซับได้แก่ การเปลี่ยนแปลง เออนทาลปี (ΔH°) การเปลี่ยนแปลงอนโทรปี (ΔS°) และการเปลี่ยนแปลงพลังงานอิสระของกิบส์ (ΔG°) ที่สภาวะมาตรฐานของการดูดซับสีข้อมถูกคำนวณ โดยอาศัยพื้นฐานไอโซเทอร์มของ แลงเมียร์ (Yao, He, Xu & Cheng, 2011) เมื่อเขียนกราฟความสัมพันธ์ระหว่าง $\ln K_L$ กับ $1/T$ (K^{-1}) แสดงดังภาพที่ 4-31 ค่า ΔH° และ ΔS° คำนวณได้จากการซัมเมอร์ - $\Delta H^\circ/R$ และค่าตัดicut y

เท่ากับ $\Delta S^\circ/R$ สำหรับค่า ΔG° คำนวณได้จาก $\Delta G^\circ = -RT \ln K_L$ พารามิเตอร์ต่างๆ ทางอุณหพลศาสตร์ของการดูดซับสีข้อมแต่ละชนิดบนท่อนไนโตรบอน แสดงดังตารางที่ 4-7



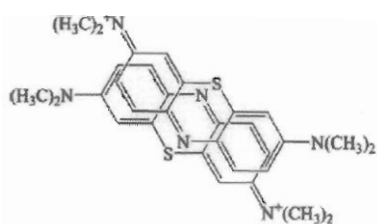
ภาพที่ 4-31 ความสัมพันธ์ของ $\ln K_L$ กับ $1/T$ ของสารละลายสีข้อมเมทิลไวโอลีต (MV) และ เมทิลีนคลู (MB) บนท่อนไนโตรบอนแบบผังหลาภยชั้น

ตารางที่ 4-7 ค่าพารามิเตอร์ทางอุณหพลศาสตร์สำหรับการดูดซับสีข้อมแต่ละชนิดที่อุณหภูมิต่างกัน

Dye	$\Delta H^\circ (\text{kJ mol}^{-1})$	$\Delta S^\circ (\text{J mol}^{-1} \text{K}^{-1})$	$\Delta G^\circ (\text{kJ mol}^{-1})$		
			20 °C	30 °C	40 °C
MV	11.58	73.43	-9.95	-10.68	-11.42
MB	52.65	204.02	-7.15	-9.20	-11.24

จากข้อมูลในตารางที่ 4.7 พบว่าการเปลี่ยนแปลงเอนthalpy (ΔH°) ของการดูดซับสีข้อมเมทิลไวโอลีตและเมทิลีนคลู มีค่าบวก ซึ่งเท่ากับ 11.58, 52.65 กิโลจูลต่อโมล ตามลำดับ แสดงว่า การดูดซับสีข้อมทั้งสามชนิดเป็นแบบดูดความร้อน (Yao et al., 2010; Wang, Huang, Zhang, & Chai, 2012) ซึ่งการดูดซับสีข้อมมีการเปลี่ยนแปลงความร้อนน้อยกว่า 84 กิโลจูลต่อโมล ดังนั้นการดูดซับสีข้อมทั้งสองบนท่อนไนโตรบอนแบบผังหลาภยชั้นจึงเป็นการดูดซับทางกายภาพ (Yu & Luo, 2014) สำหรับค่า ΔH° ของการดูดซับสีข้อมเมทิลีนคลูมีค่ามากกว่าการดูดซับสีข้อมเมทิลไวโอลีต แสดงว่าการดูดซับสีข้อมเมทิลีนคลูใช้พลังงานความร้อนมากกว่า ซึ่งอาจเนื่องมาจากการเมื่อยู่ในสารละลายไมเดกูลสีข้อมเมทิลีนคลูมีลักษณะเป็นไดเมอร์ (dimer) (Yazdani et al., 2012) แสดงดังภาพที่ 4-32 ดังนั้นต้องใช้พลังงานความร้อนส่วนหนึ่งสำหรับการถ่ายโอนเดกูลของสีข้อมให้ออก ในรูปโมเลกุลเดียวก่อนเกิดการดูดซับ สำหรับการเปลี่ยนแปลงเอนโทรปี (ΔS°) มีค่าบวกสำหรับ

เมทิลไวนิลเดคแคลเมททิลินบลูซึ่งเท่ากับ 73.43 และ 204.02 จูดต่อโมลต่อเคลวิลตามคำศัพด์ แสดงว่า กระบวนการคุณซับของสีข้อมทั้งสองชนิดบนพื้นผิวของท่อนาโนคาร์บอนแบบผนังหอยชัน นำไปสู่ความไม่เป็นระเบียบเพิ่มขึ้นที่บริเวณผิวรอบต่อระหว่างพื้นผิวของแข็งกับสารละลายหรือมีการเปลี่ยนแปลงโครงสร้างของสีข้อมและท่อนาโนคาร์บอน (Yao et al., 2010; Wang, Huang, Zhang, & Chai, 2012) โดยเฉพาะสีข้อมเมททิลินบลูที่มีค่า ΔS° มากกว่า ซึ่งอาจเนื่องมาจากการที่ไปในสารละลายโดยเกิดอันตรรศิริกับโนเลกุลสีข้อมแบบ π - π stacking อยู่ในรูปแบบไดเมอร์ที่มีความแข็งแรงมากกว่าและมีความเป็นระเบียบสูงกว่าเมื่อเปรียบเทียบกับอันตรรศิริแบบ π - π stacking ระหว่างโนเลกุลสีข้อมกับท่อนาโนคาร์บอนในการกระบวนการคุณซับ ดังนั้นมีการคุณซับนำไปสู่การเพิ่มองศาอิสระการเคลื่อนที่ของโนเลกุลสีข้อมเพิ่มขึ้นและทำให้มีความไม่เป็นระเบียบสูงขึ้น เนื่องจากโนเลกุลสีข้อมอยู่ในรูปโนเลกุลเดียว ดังนั้น ค่า ΔS° จึงมีค่าเป็นบวก สำหรับโนเลกุลเมทิลไวนิลเดคแคลเมททิลไวนิลจะมีความเกลกะของโนเลกุลและโนเลกุลมีขนาดใหญ่ ดังนั้nm เมื่อเกิดอันตรรศิริในการกระบวนการคุณซับจะนำไปสู่การเพิ่มองศาอิสระการเคลื่อนที่ของโนเลกุลสีข้อมเพิ่มขึ้นและทำให้มีความไม่เป็นระเบียบสูงขึ้น เพราะฉะนั้น ΔS° จึงมีค่าบวก สำหรับการเปลี่ยนแปลงงานอิสระของกิบส์ พนว่า ΔG° มีค่าติดลบทุกอุณหภูมิสำหรับสีข้อมทั้งสองชนิด แสดงว่าเป็นกระบวนการที่เกิดขึ้นเองได้ (Yao et al., 2010; Wang, Huang, Zhang, & Chai, 2012) และเมื่ออุณหภูมิสูงขึ้น ค่า ΔG° ติดลบมากขึ้น (ลดลง) แสดงว่าการคุณซับสีข้อมทั้งสองชนิดเกิดได้ดีขึ้นที่อุณหภูมิเพิ่มขึ้น (Yao et al., 2010) ซึ่ง ΔG° อยู่ระหว่าง -20 – 0 กิโลจูดต่อโมล (Wu, 2007) ดังนั้นการคุณซับสีข้อมทั้งสองชนิดท่อนาโนคาร์บอนแบบผนังหอยชันจึงเป็นข้อบันทึกว่าเป็นการคุณซับทางกายภาพ และเป็นกระบวนการคุณซับแบบคุณความร้อนที่เกิดขึ้นเองได้

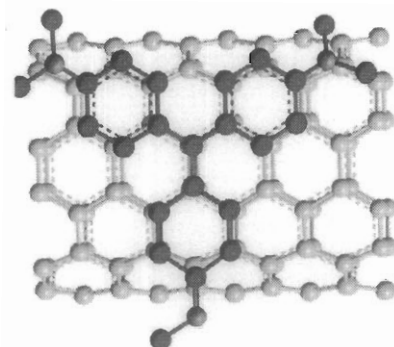


ภาพที่ 4-32 โครงสร้างที่อาจเป็นไปได้ในลักษณะรูปแบบไดเมอร์ของสีข้อมเมทิลินบลูในสารละลาย (Yazdani et al., 2012)

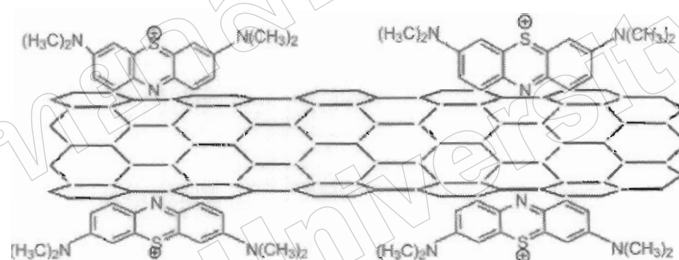
4.7 การศึกษาอันตรกิริยาระหว่างสีข้อมเมทิลไวโอลेत เมททิลินบลูบันและเมทิลօอเรนจ์ กับท่อนาโนคาร์บอนแบบพนังหลาຍชั้น

โดยทั่วไปอันตรกิริยาระหว่างโมเลกุลของสารอินทรีย์กับตัวคุณซับมีความสำคัญในการอธิบายการคุณซับ โมเลกุลของสารอินทรีย์บนตัวคุณซับ สำหรับวัสดุคุณซับที่เป็นนาโนคาร์บอน อันตรกิริยาที่อาจเป็นไปได้มี 5 รูปแบบ ได้แก่ อันตรกิริยาแบบไม่ชอบน้ำ (Hydrophobic interaction) อันตรกิริยาแบบพันธะ π - π (π - π bonding interaction) อันตรกิริยาแบบพันธะไฮdroเจน (Hydrogen bonding interaction) อันตรกิริยาแบบพันธะ โคوالเอนต์ (Covalent bonding interaction) และอันตรกิริยาเนื่องมาจากการประจุไฟฟ้า (Electrostatic interaction) โดยอันตรกิริยาดังกล่าวจะเกี่ยวข้องกับการคุณซับของโมเลกุลสารอินทรีย์บนพื้นผิวของอนุภาคระดับนาโนของคาร์บอน (Yang & Xing, 2010) จากงานวิจัยก่อนหน้า (Wang et al., 2012) แสดงให้เห็นว่า ปัจจัยหลัก 2 ประการ ได้แก่ รูปร่างของโมเลกุลสีข้อมและประจุของโมเลกุลสีข้อมแสดงบทบาทที่สำคัญต่ออันตรกิริยาระหว่างสีข้อมกับท่อนาโนคาร์บอน โดยเสนอว่าโมเลกุลที่มีลักษณะโครงสร้างแบบแบนราบ (Planar) และมีประจุที่สูงกว่าเกิดการคุณซับได้ดีกว่า

ดังนั้น อันตรกิริยาของการคุณซับสีข้อมเมทิลไวโอลे�ตและเมททิลินบลูบันท่อนาโนคาร์บอนแบบพนังหลาຍชั้นอาจเป็นแบบ π - π stacking interaction แสดงดังภาพที่ 4-33 และ 4-34 เพราะสีข้อมเมทิลไวโอลे�ตมีโครงสร้างแบบเรโซแนนซ์ (Resonance) และเมททิลินบลูมีโครงสร้างแบบแบนราบ (Planar) ซึ่งสามารถคุณซับกับท่อนาโนคาร์บอนได้ง่ายโดย π - π stacking interaction ระหว่างโครงโมล็อกอินทริกอยู่ในรูปแบบโรมาติกของสีข้อมและโครงสร้างเซกแซง โภโนล (Hexagonal skeleton) ของท่อนาโนคาร์บอนโดยเกิดโครงรูปแบบ face-to-face conformation จึงทำให้อิเล็กตรอนแบบ π (π -electron) เกิดการเดลอกัลลิไซซ์ (Delocalization) ซึ่งสามารถเคลื่อนที่ไปได้ทั่วทั้งโมเลกุล ทำให้เกิดการคุณซับได้ พิจารณาความสามารถของท่อนาโนคาร์บอนในการคุณซับสีข้อมเมทิลไวโอลे�ต สูงสุด มีค่ามากกว่าการคุณซับเมททิลินบลูสูงสุด อาจเนื่องจากการเกิด π - π stacking interaction ที่เหมาะสมกว่าและแข็งแรงกว่า แสดงดังภาพที่ 4-33 และ 4-34 สำหรับอันตรกิริยาระหว่างโมเลกุลสีข้อมเมทิลօอเรนจ์กับท่อนาโนคาร์บอน ถึงแม้ว่าโครงสร้างโมเลกุลเมทิลօอเรนจ์มีหมู่อะโรมาติกแต่การเกิด π - π stacking interaction เกิดได้ไม่แข็งแรงหรืออ่อนกว่า เมื่อเทียบกับสีข้อมเมทิลไวโอลे�ต และเมททิลินบลูจึงทำให้ความสามารถในการคุณซับสีข้อมเมทิลօอเรนจ์มีค่าน้อยกว่า



ภาพที่ 4-33 อันตรกิรยาที่เป็นไปได้ของการดูดซับของสีข้อมเมทิลไออกเลตบนท่อนาโนคาร์บอน
(Su & Zhitomirsky, 2013)



ภาพที่ 4-34 อันตรกิรยาที่เป็นไปได้ของการดูดซับของสีข้อมเมทิลีนบูลูนท่อนาโนคาร์บอน
(Wang et al., 2012)

พิจารณาไอโซเทอร์มของแอลเมียร์ที่สอดคล้องกับการดูดซับสีข้อมหัลล์สามชั้นบนท่อนาโนคาร์บอน เนื่องจากไม่เกิดสีข้อมมีขนาดใหญ่และมีโครงสร้างอนุภาคอะโรมาติกตัวนี้ไม่เกิดที่มีรูปร่างแบบราบจะเกิดการดูดซับผ่าน face-to-face conformation โดยเกิดอันตรกิรยาของสีข้อมกับท่อนาโนคาร์บอนเป็นแบบ π - π interaction จึงทำให้ไม่เกิดขึ้นสักหนึ่งการดูดซับแบบชั้นเดียว (Monolayer) ที่เกิดขึ้นโดยทุกบริเวณของตัวดูดซับของท่อนาโนคาร์บอนมีความสามจุดในการดูดซับตัวอุบคุดซับประเทกทีสีข้อมได้ท่ากันและพื้นผิวของตัวดูดซับไม่เกิดขั้นตอนที่เป็นเดียวที่สม่ำเสมอ ซึ่งสอดคล้องกับแบบจำลองไอโซเทอร์มของแอลเมียร์เป็นอย่างดี